

V-116

鋼纖維-セメントペースト間の脱着過程に関する破壊力学的考察

金沢大学 工学部 正会員 川村満紀
 金沢大学 工学部 正会員 ○五十嵐心一

1. まえがき

鋼纖維補強コンクリートの力学的性質において重要な意味を持つ鋼纖維-セメントマトリックス間の付着特性を評価するために、纖維の引き抜き試験から求まる付着強度が用いられてきた。しかし、近年、Stang & Shah¹⁾がこの複合材料の破壊強度を推定するために、破壊力学に基づく手法を提案している。

本研究は配合の異なるセメントペースト中に埋め込まれた鋼纖維に対して、コンプライアンス法に基づいて付着発生時のエネルギー解放率を求め、このエネルギー解放率の纖維-セメントペースト間の付着特性への適用性について検討する。さらに、このエネルギー解放率と鋼纖維-セメントペースト界面領域の組織との関連性について検討を加えた。

2. 実験概要

(1) 使用材料及び供試体作成 使用したセメントは普通ポルトランドセメントであり、シリカフューム（比重2.33、比表面積24.2m²/g）はセメントの一部と置換して用いた。使用した鋼纖維は異形加工を施していないストレート纖維（カットファイバー、φ0.5mm）である。

引き抜き試験用供試体は4×4×15cmであり、図-1に示すように、鋼纖維を所定の埋め込み長さに埋め込み、また鋼纖維とセメントペーストの接触部に切欠きを作るために、厚さ0.25mmのシリコンチューブを装着してセメントペーストを打設した。すなわち、供試体脱型時にこのシリコンチューブを取り除くことにより切欠きを導入し、この切欠き部を油粘土で塞いだ後、水中養生(20℃)を行なった。セメントペーストの配合を表-1に示す。

(2) エネルギー解放率 引き抜き試験によって得られる荷重-変位曲線（図-2）に対して、次式によりエネルギー解放率を求めた¹⁾。

$$G_C = \frac{P_{max}^2}{2\pi d} \cdot \frac{\partial \lambda(a)}{\partial a}$$

(3) 微小硬度測定 (1)と同一の配合のセメントペースト中に鋼纖維を埋め込み、水中養生(20℃)を行なった。所定材令において、切り出した薄板の表面をダイヤモンドスラリーを用いて研磨を行なった。研磨面内に現われた1本の鋼纖維に対して、界面領域の微小硬度（ビカス硬度）を測定した。

3. 結果

図-3はコンプライアンスと切欠き長さの関係を示したものである。埋め込み長さ30mmの場合、材令の進行にともないコンプライアンスは低下し、鋼纖維の引き抜きに対する抵抗

表-1 供試体の配合及び埋め込み長さ

	W/C (%)	セメント:シリカフューム	1f (mm)	SP (%/C)
OPC	55	1:0	30,60	0
SF10	55	0.9:0.1	30	0.8
SF20	25	0.8:0.2	30	2.4

SP: 高性能減水剤

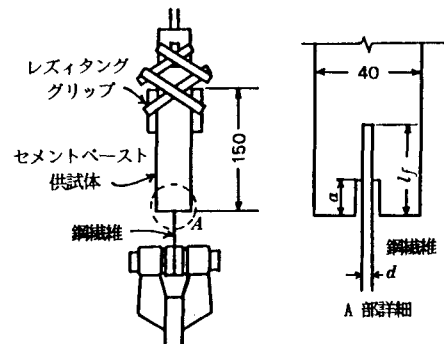


図-1 引き抜き試験方法

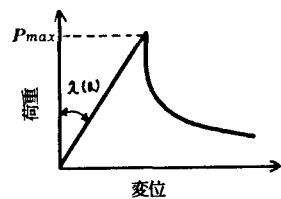


図-2 荷重-変位曲線

性は増大することがわかる。またシリカフュームの混入はコンプライアンスをさらに低下させる。埋め込み長さ60mmの場合は、切欠き長さとともにコンプライアンスの変化はかなり小さく、材令にともなう変化もほとんど認められない。

図-4は G_c と切欠き長さの関係を示したものである。 G_c は切欠き長さとともに増大しているが、埋め込み長さ30mmの場合はその増大の程度は小さい。また、材令14日から材令28日までに G_c は増大を示し、鋼纖維ーセメントペースト間の付着破壊靭性は増大するといえる。さらに、シリカフューム混入による破壊靭性の増大は明らかである。材令28日における平均付着強度($f_f=30\text{mm}$, $a=0$)はOPC:19.95kgf/cm², SF10:19.03kgf/cm²およびSF20:23.91kgf/cm²とその差は明確ではなかったことから考えて、 G_c は平均付着強度よりも付着特性をより鋭敏に反映する指標であるといえる。

図-5は各セメントペースト中の界面領域の微小硬度分布を示したものである。普通セメントペーストとシリカフューム混入ペーストを比較すると、シリカフュームの混入により、界面隣接部分および界面から数10μm離れた最小の微小硬度値を示す多孔性領域の微小硬度が増大している。これらの微小硬度値の大小関係は図-4に示す G_c 値における大小関係とほぼ一致しており、付着の破壊靭性は界面領域の微視的構造と密接な関係があるといえる。特に、界面隣接部分および多孔性領域のいずれの微小硬度値も著しく増大し、付着破壊靭性の最も大きなシリカフューム混入セメントペースト(混入率20%, W/C=25%)では、図-6に示すように、最大荷重到達後の荷重一変位曲線はのこぎり刃状となり、付着破壊の進行過程は他の場合と大きく異なる。

4.まとめ

(1) 付着破壊に対する G_c 値は一定の値とはならないが、平均付着強度よりも明確に付着特性を評価し得る。

(2) 付着破壊に対する G_c 値は鋼纖維ーセメントペースト界面領域の微視的構造といよい対応を示す。

(3) シリカフュームの多量の混入とW/Cの著しい低減により、付着破壊ひびわれの進行過程は大きく変化し、最大荷重時において、全界面脱付着とはならないようである。

参考文献

- 1) Stang H. and Shah S.P., Failure of Fiber-Reinforced Composites by Pull-Out Fracture, J. of Mat. Sci., (21), pp.953-957, 1986.

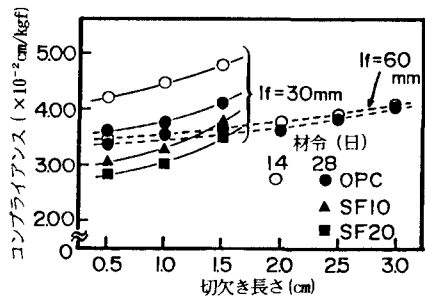


図-3 コンプライアンスの変化

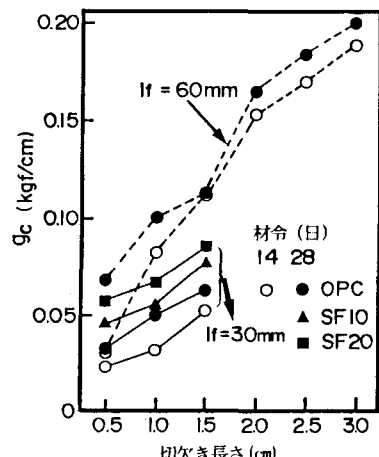
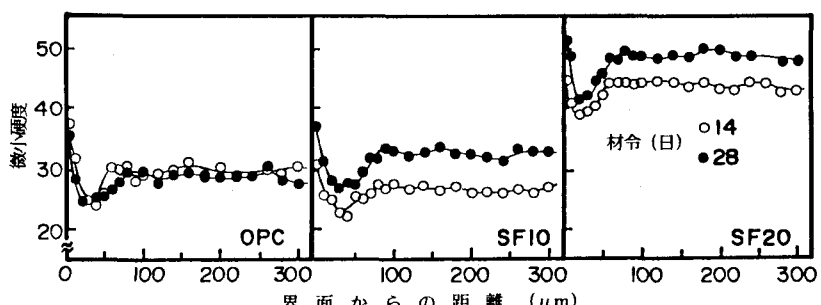
図-4 G_c と切欠き長さの関係

図-5 鋼纖維ーセメントペースト界面領域の微小硬度分布

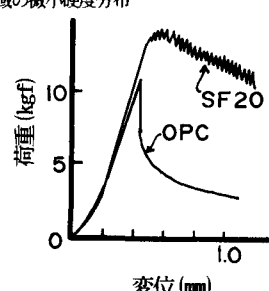


図-6 荷重一変位曲線の比較